

Nouvelles approches en sans-grille : covariance et courbes AMG

Bastien Laville, Laure Blanc-Féraud, Gilles Aubert

Projet Morpheme : Inria SAM, CNRS, UCA

13 juin 2022



Plan

- 1 Introduction
- 2 Reconstruction par covariance
- 3 AMG : Reconstruction de courbes
- 4 Conclusion

Introduction

Contexte biomédical

Objectif

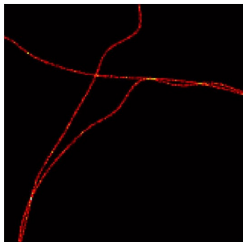
Imager des structures biologiques à de petites échelles

Contexte biomédical

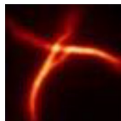
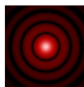
Objectif

Imager des structures biologiques à de petites échelles

Limitation physique à cause de la diffraction pour des corps < 200 nm :
convolution par la *point spread function* h du microscope.



PSF h = disque d'Airy
ou gaussienne.



Imagerie SMLM

Reconstruction par microscopie de fluorescence SMLM : pile d'acquisition avec peu de fluorophores allumés par image.

Imagerie SMLM

Reconstruction par microscopie de fluorescence SMLM : pile d'acquisition avec peu de fluorophores allumés par image.

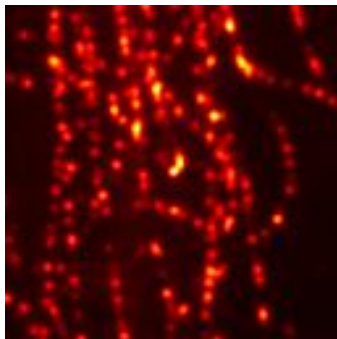
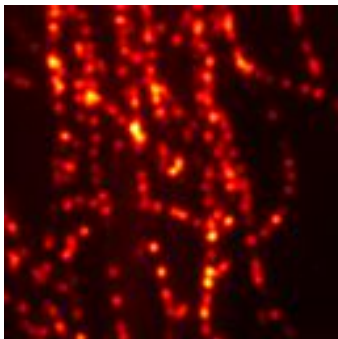
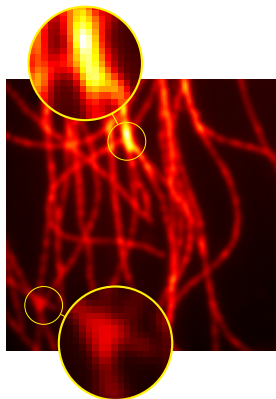


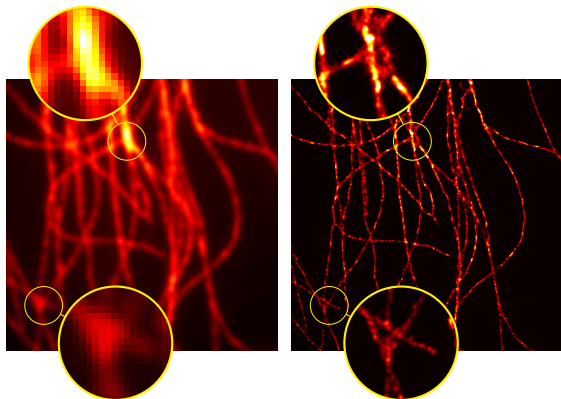
Figure 1: 2 extraits de pile SMLM

Pile EPFL SMLM Challenge (10000 images, haute densité) :



Moyenne de la pile

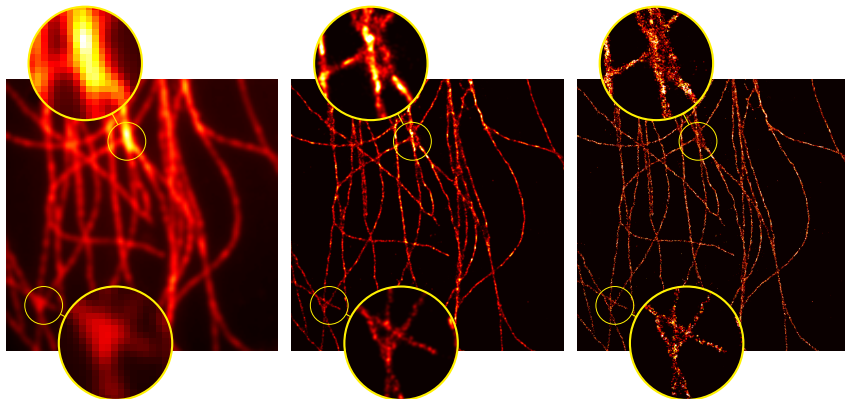
Pile EPFL SMLM Challenge (10000 images, haute densité) :



Moyenne de la pile

Sans-grille

Pile EPFL SMLM Challenge (10000 images, haute densité) :

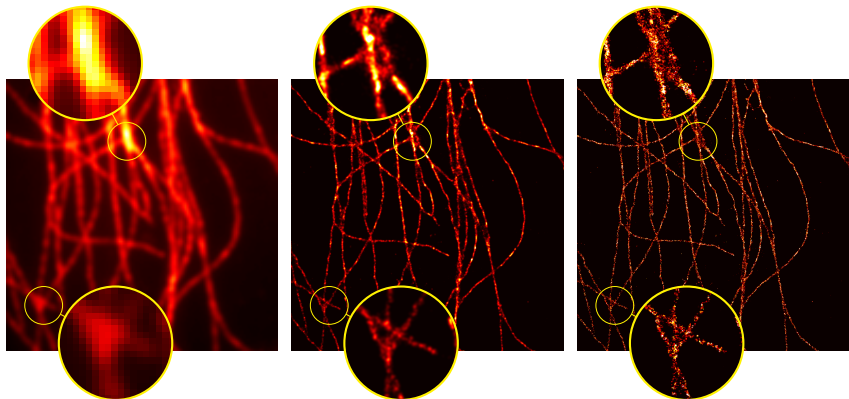


Moyenne de la pile

Sans-grille

Deep-STORM

Pile EPFL SMLM Challenge (10000 images, haute densité) :



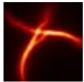
Moyenne de la pile

Sans-grille

Deep-STORM

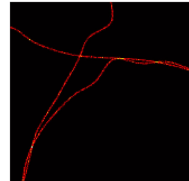
Défauts SMLM : beaucoup d'images, pas d'imagerie de cellules vivantes.

Problème inverse, à partir d'une acquisition on reconstruit positions et amplitudes de pics.



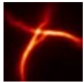
Acquisition

Inverse problem



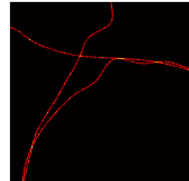
Reconstruction

Problème inverse, à partir d'une acquisition on reconstruit positions et amplitudes de pics.



Acquisition

Inverse problem



Reconstruction

- déconvolution sans-grille peut s'interpréter comme la « limite » d'une grille de plus en plus fine ;
- plus limité par la grille fine.

État de l'art sans-grille

Positionnement :

- \mathcal{X} est un compact de \mathbb{R}^d ;

État de l'art sans-grille

Positionnement :

- \mathcal{X} est un compact de \mathbb{R}^d ;
- comment modéliser les pics ? Mesures de Dirac δ_x , élément de l'ensemble des mesures de Radon finies $\mathcal{M}(\mathcal{X})$;

État de l'art sans-grille

Positionnement :

- \mathcal{X} est un compact de \mathbb{R}^d ;
- comment modéliser les pics ? Mesures de Dirac δ_x , élément de l'ensemble des mesures de Radon finies $\mathcal{M}(\mathcal{X})$;
- dual topologique de $\mathcal{C}_0(\mathcal{X})$ ($= \mathcal{C}(\mathcal{X})^*$ ici) pour $\langle f, m \rangle = \int_{\mathcal{X}} f \, dm$.
Généralisation de $L^1(\mathcal{X})$; $L^1(\mathcal{X}) \hookrightarrow \mathcal{M}(\mathcal{X})$;

État de l'art sans-grille

Positionnement :

- \mathcal{X} est un compact de \mathbb{R}^d ;
- comment modéliser les pics ? Mesures de Dirac δ_x , élément de l'ensemble des mesures de Radon finies $\mathcal{M}(\mathcal{X})$;
- dual topologique de $\mathcal{C}_0(\mathcal{X})$ ($= \mathcal{C}(\mathcal{X})^*$ ici) pour $\langle f, m \rangle = \int_{\mathcal{X}} f \, dm$. Généralisation de $L^1(\mathcal{X})$; $L^1(\mathcal{X}) \hookrightarrow \mathcal{M}(\mathcal{X})$;
- Banach pour la norme TV : $m \in \mathcal{M}(\mathcal{X})$,

$$|m|(\mathcal{X}) \stackrel{\text{def.}}{=} \sup \left(\int_{\mathcal{X}} f \, dm \mid f \in \mathcal{C}_0(\mathcal{X}), \|f\|_{\infty, \mathcal{X}} \leq 1 \right).$$

Si $m = \sum_{i=1}^N a_i \delta_{x_i}$ est une mesure discrète alors $|m|(\mathcal{X}) = \sum_{i=1}^N |a_i|$.

Soit $m_{a_0, x_0} \stackrel{\text{def.}}{=} \sum_{i=1}^N a_i \delta_{x_i}$ une mesure discrète, $\Phi : \mathcal{M}(\mathcal{X}) \rightarrow L^2(\mathcal{X})$ opérateur d'acquisition (e.g. $\Phi m_{a_0, x_0} \stackrel{\text{def.}}{=} \sum_{i=1}^N a_i h(x - x_i)$ le noyau gaussien) et $w \in L^2(\mathcal{X})$ bruit additif :

$$y \stackrel{\text{def.}}{=} \Phi m_{a_0, x_0} + w.$$

Soit $m_{a_0, x_0} \stackrel{\text{def.}}{=} \sum_{i=1}^N a_i \delta_{x_i}$ une mesure discrète, $\Phi : \mathcal{M}(\mathcal{X}) \rightarrow \mathbb{L}^2(\mathcal{X})$ opérateur d'acquisition (e.g. $\Phi m_{a_0, x_0} \stackrel{\text{def.}}{=} \sum_{i=1}^N a_i h(x - x_i)$ le noyau gaussien) et $w \in \mathbb{L}^2(\mathcal{X})$ bruit additif :

$$y \stackrel{\text{def.}}{=} \Phi m_{a_0, x_0} + w.$$

On appelle **BLASSO** le problème d'optimisation [Candes14, Duval15] pour $\lambda > 0$:

$$\operatorname{argmin}_{m \in \mathcal{M}(\mathcal{X})} \frac{1}{2} \|y - \Phi m\|_{\mathbb{L}^2(\mathcal{X})}^2 + \lambda |m|(\mathcal{X}) \quad (\mathcal{P}_\lambda(y))$$

Soit $m_{a_0, x_0} \stackrel{\text{def.}}{=} \sum_{i=1}^N a_i \delta_{x_i}$ une mesure discrète, $\Phi : \mathcal{M}(\mathcal{X}) \rightarrow \mathbb{L}^2(\mathcal{X})$ opérateur d'acquisition (e.g. $\Phi m_{a_0, x_0} \stackrel{\text{def.}}{=} \sum_{i=1}^N a_i h(x - x_i)$ le noyau gaussien) et $w \in \mathbb{L}^2(\mathcal{X})$ bruit additif :

$$y \stackrel{\text{def.}}{=} \Phi m_{a_0, x_0} + w.$$

On appelle **BLASSO** le problème d'optimisation [Candes14, Duval15] pour $\lambda > 0$:

$$\operatorname{argmin}_{m \in \mathcal{M}(\mathcal{X})} \frac{1}{2} \|y - \Phi m\|_{\mathbb{L}^2(\mathcal{X})}^2 + \lambda |m|(\mathcal{X}) \quad (\mathcal{P}_\lambda(y))$$

Résolu par exemple par algorithme glouton (*Frank-Wolfe*, ...)

Reconstruction par covariance

Une autre imagerie : SOFI

Imagerie SOFI (*Super-resolution optical fluctuation imaging*)
[Dertinger10].

Une autre imagerie : SOFI

Imagerie SOFI (*Super-resolution optical fluctuation imaging*)
[Dertinger10].

- beaucoup de fluorophores
allumés en même temps ;

Une autre imagerie : SOFI

Imagerie SOFI (*Super-resolution optical fluctuation imaging*)
[Dertinger10].

- beaucoup de fluorophores allumés en même temps ;
- indépendance temporelle des fluorophores.

Une autre imagerie : SOFI

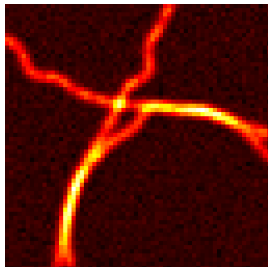
Imagerie SOFI (*Super-resolution optical fluctuation imaging*)
[Dertinger10].

- beaucoup de fluorophores allumés en même temps ;
- indépendance temporelle des fluorophores.
- moins nocif pour les structures biologiques étudiées ;

Une autre imagerie : SOFI

Imagerie SOFI (*Super-resolution optical fluctuation imaging*)
[Dertinger10].

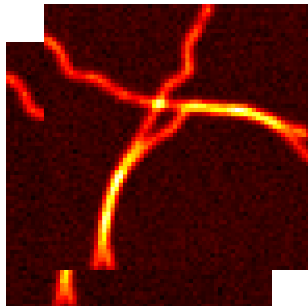
- beaucoup de fluorophores allumés en même temps ;
- indépendance temporelle des fluorophores.
- moins nocif pour les structures biologiques étudiées ;



Une autre imagerie : SOFI

Imagerie SOFI (*Super-resolution optical fluctuation imaging*)
[Dertinger10].

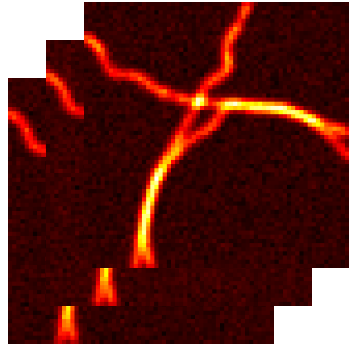
- beaucoup de fluorophores allumés en même temps ;
- indépendance temporelle des fluorophores.
- moins nocif pour les structures biologiques étudiées ;



Une autre imagerie : SOFI

Imagerie SOFI (*Super-resolution optical fluctuation imaging*)
[Dertinger10].

- beaucoup de fluorophores allumés en même temps ;
- indépendance temporelle des fluorophores.
- moins nocif pour les structures biologiques étudiées ;



Quantités en jeu

- on effectue des acquisitions (images dans $L^2(\mathcal{X})$) sur $[0, T]$;

Quantités en jeu

- on effectue des acquisitions (images dans $L^2(\mathcal{X})$) sur $[0, T]$;
- on définit $y : [0, T] \rightarrow L^2(\mathcal{X})$ la pile d'acquisition SOFI ;

Quantités en jeu

- on effectue des acquisitions (images dans $L^2(\mathcal{X})$) sur $[0, T]$;
- on définit $y : [0, T] \rightarrow L^2(\mathcal{X})$ la pile d'acquisition SOFI ;
- on cherche à reconstruire une mesure *dynamique* :

$$t \mapsto \mu(t) \stackrel{\text{def.}}{=} \sum_{i=1}^N a_i(t) \delta_{x_i} \in L^2(0, T; \mathcal{M}(\mathcal{X}))$$

qui génère pour presque tout $t \in [0, T]$: $y(t) = \Phi\mu(t)$.

Quantités en jeu

- on effectue des acquisitions (images dans $L^2(\mathcal{X})$) sur $[0, T]$;
- on définit $y : [0, T] \rightarrow L^2(\mathcal{X})$ la pile d'acquisition SOFI ;
- on cherche à reconstruire une mesure *dynamique* :

$$t \mapsto \mu(t) \stackrel{\text{def.}}{=} \sum_{i=1}^N a_i(t) \delta_{x_i} \in L^2(0, T; \mathcal{M}(\mathcal{X}))$$

qui génère pour presque tout $t \in [0, T]$: $y(t) = \Phi\mu(t)$.

Les cumulants peuvent nous aider à retrouver les positions x_i . Exemple : moyenne temporelle $\bar{y} \stackrel{\text{def.}}{=} \frac{1}{T} \int_0^T y(\cdot, t) dt$. On a $\Phi m_{a,x} = \bar{y}$ où $m_{a,x} \stackrel{\text{def.}}{=} \sum_{i=1}^N \bar{a}_i \delta_{x_i}$.

Construire les problèmes

Si R_y est la covariance temporelle, on a $\forall u, v \in \mathcal{X}$:

Construire les problèmes

Si R_y est la covariance temporelle, on a $\forall u, v \in \mathcal{X}$:

$$\begin{aligned} R_y(u, v) &\stackrel{\text{def.}}{=} \frac{1}{T} \int_0^T (y(u, t) - \bar{y}(u)) (y(v, t) - \bar{y}(v)) dt \\ &= \dots \quad (\text{indépendance des fluctuations [Dertinger10]}) \\ &= \sum_{i=1}^N \underbrace{M_i}_{\text{Variance de } a_i} h(u - x_i) h(v - x_i) \\ &= \int_{\mathcal{X}} h(u - x) h(v - x) dm_{M,x}(x) \\ &= \Lambda m_{M,x}(u, v). \end{aligned}$$

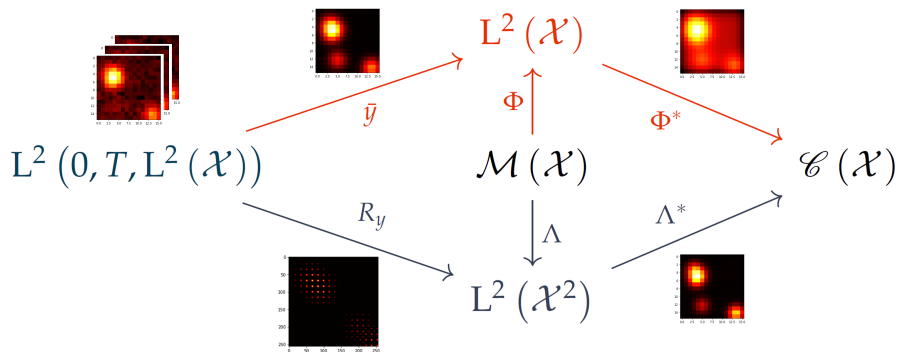
Construire les problèmes

Si R_y est la covariance temporelle, on a $\forall u, v \in \mathcal{X}$:

$$\begin{aligned}
 R_y(u, v) &\stackrel{\text{def.}}{=} \frac{1}{T} \int_0^T (y(u, t) - \bar{y}(u)) (y(v, t) - \bar{y}(v)) dt \\
 &= \dots \quad (\text{indépendance des fluctuations [Dertinger10]}) \\
 &= \sum_{i=1}^N \underbrace{M_i}_{\text{Variance de } a_i} h(u - x_i) h(v - x_i) \\
 &= \int_{\mathcal{X}} h(u - x) h(v - x) dm_{M,x}(x) \\
 &= \Lambda m_{M,x}(u, v).
 \end{aligned}$$

$m_{M,x} \stackrel{\text{def.}}{=} \sum_{i=1}^N M_i \delta_{x_i}$ partage les mêmes positions que $\mu = \sum_{i=1}^N a_i(t) \delta_{x_i}$, on appelle $\Lambda : \mathcal{M}(\mathcal{X}) \rightarrow L^2(\mathcal{X}^2)$ cet « opérateur de covariance ».

Résumé des quantités



Légende : partie dynamique, partie moyenne temporelle \bar{y} et partie covariance temporelle R_y .

BLASSO sur la covariance

Soit $\lambda > 0$, nous proposons la reconstruction par covariance :

$$\operatorname{argmin}_{m \in \mathcal{M}(\mathcal{X})} T_\lambda(m) \stackrel{\text{def.}}{=} \frac{1}{2} \|R_y - \Lambda(m)\|_{L^2(\mathcal{X}^2)}^2 + \lambda |m|(\mathcal{X}) \quad (\mathcal{Q}_\lambda(y))$$

BLASSO sur la covariance

Soit $\lambda > 0$, nous proposons la reconstruction par covariance :

$$\operatorname{argmin}_{m \in \mathcal{M}(\mathcal{X})} T_\lambda(m) \stackrel{\text{def.}}{=} \frac{1}{2} \|R_y - \Lambda(m)\|_{L^2(\mathcal{X}^2)}^2 + \lambda |m|(\mathcal{X}) \quad (\mathcal{Q}_\lambda(y))$$

$\Delta \stackrel{\text{def.}}{=} \min_{i \neq j} |x_i - x_j|$: distance de séparation minimale

Proposition

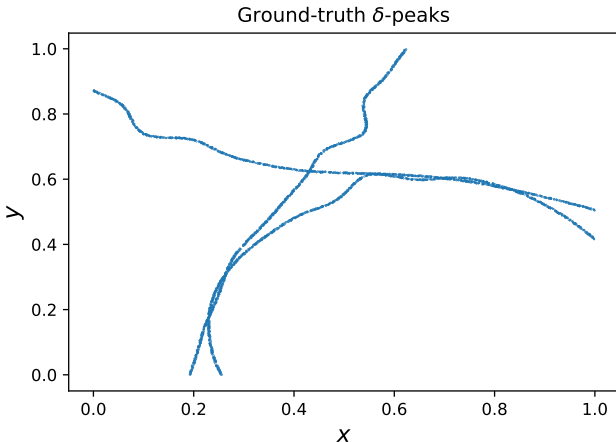
Le support de la mesure est reconstruit :

- si $\Delta \gtrsim 1,1\sigma$ pour BLASSO sur moyenne d'après [Bendory16] ;
- si $\Delta \gtrsim 1,1\sigma/\sqrt{2}$ pour $(\mathcal{Q}_\lambda(y))$: **mieux !**

Résultats numériques 2D SOFItool

Test sur des filaments 2D issus du ISBI challenge 2016 :

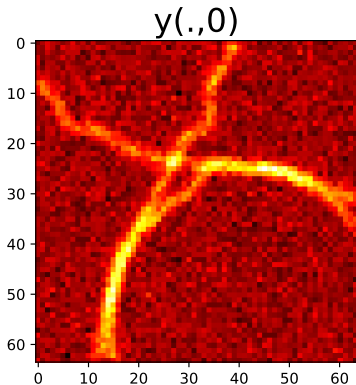
- pile de 1000 acquisitions en 64×64 simulées par SOFItool ;
- 8700 émetteurs répartis sur les filaments ; bruit de fond **fort** + bruit de Poisson à 4 + bruit gaussien à 1×10^{-2} . SNR ≈ 10 db.



Résultats numériques 2D SOFItool

Test sur des filaments 2D issus du ISBI challenge 2016 :

- pile de 1000 acquisitions en 64×64 simulées par SOFItool ;
- 8700 émetteurs répartis sur les filaments ; bruit de fond **fort** + bruit de Poisson à 4 + bruit gaussien à 1×10^{-2} . SNR ≈ 10 db.



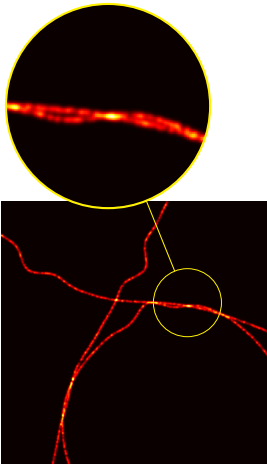


Figure 2: Vérité-terrain

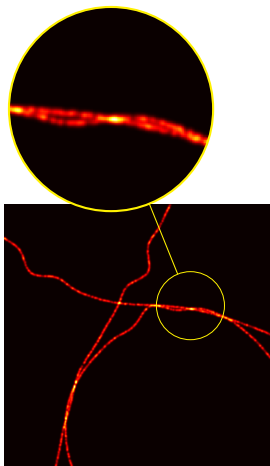


Figure 2: Vérité-terrain

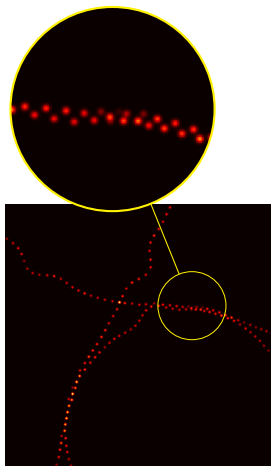


Figure 3: $(Q_\lambda(y))$

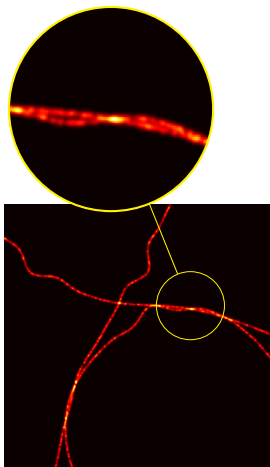


Figure 2: Vérité-terrain

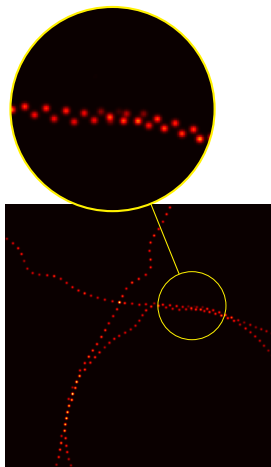


Figure 3: $(Q_\lambda(y))$

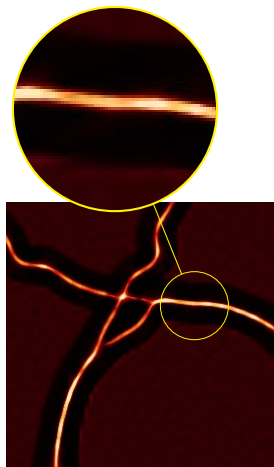
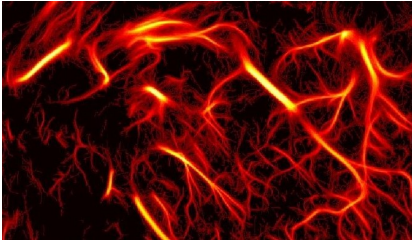


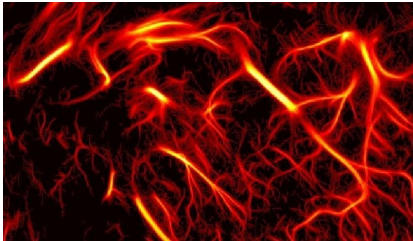
Figure 4: SRRF [Culley18]

AMG : Reconstruction de courbes



Des sources courbes apparaissent naturellement dans les acquisitions

Applications : paléomagnétisme, imagerie biomédicale, etc.



Des sources courbes apparaissent naturellement dans les acquisitions

Applications : paléomagnétisme, imagerie biomédicale, etc.

Nous voulons retrouver des courbes dans un cadre sans-grille.

Problème : il n'y a pas de littérature sur la question.

Comment construire une fonctionnelle ? Nos objectifs :

- implémenter la notion de courbe dans un cadre sans-grille
- évacuer les Diracs, minimiseur du BLASSO ?

Comment construire une fonctionnelle ? Nos objectifs :

- implémenter la notion de courbe dans un cadre sans-grille
- évacuer les Diracs, minimiseur du BLASSO ?

Observons que l'on sait reconstruire en sans-grille :

- 0D, des Diracs δ_x (mesures portées par un point x) ;
- 2D, des indicatrices χ_E (mesures portées par une surface E) ;

Comment construire une fonctionnelle ? Nos objectifs :

- implémenter la notion de courbe dans un cadre sans-grille
- évacuer les Diracs, minimiseur du BLASSO ?

Observons que l'on sait reconstruire en sans-grille :

- 0D, des Diracs δ_x (mesures portées par un point x) ;
- 2D, des indicatrices χ_E (mesures portées par une surface E) ;

Comment reconstruire une mesure portée par une courbe ? (1D)

- soit l'espace des mesures de Radon vectorielles $\mathcal{M}(\mathcal{X})^2$;

- soit l'espace des mesures de Radon vectorielles $\mathcal{M}(\mathcal{X})^2$;
- On note $\mathcal{V} \stackrel{\text{def.}}{=} \left\{ m \in \mathcal{M}(\mathcal{X})^2, \operatorname{div}(m) \in \mathcal{M}(\mathcal{X}) \right\}$ l'espace des *charges*, c'est-à-dire les champs de vecteurs à divergence finie. Notons que $\delta \notin \mathcal{V}$!

- soit l'espace des mesures de Radon vectorielles $\mathcal{M}(\mathcal{X})^2$;
- On note $\mathcal{V} \stackrel{\text{def.}}{=} \left\{ m \in \mathcal{M}(\mathcal{X})^2, \operatorname{div}(m) \in \mathcal{M}(\mathcal{X}) \right\}$ l'espace des *charges*, c'est-à-dire les champs de vecteurs à divergence finie. Notons que $\delta \notin \mathcal{V}$!
- \mathcal{V} est un Banach pour la norme $\|\cdot\|_{\mathcal{V}} \stackrel{\text{def.}}{=} \|\cdot\|_{\text{TV}^2} + \|\operatorname{div}(\cdot)\|_{\text{TV}}$;

- soit l'espace des mesures de Radon vectorielles $\mathcal{M}(\mathcal{X})^2$;
- On note $\mathcal{V} \stackrel{\text{def.}}{=} \left\{ m \in \mathcal{M}(\mathcal{X})^2, \operatorname{div}(m) \in \mathcal{M}(\mathcal{X}) \right\}$ l'espace des *charges*, c'est-à-dire les champs de vecteurs à divergence finie. Notons que $\delta \notin \mathcal{V}$!
- \mathcal{V} est un Banach pour la norme $\|\cdot\|_{\mathcal{V}} \stackrel{\text{def.}}{=} \|\cdot\|_{\text{TV}^2} + \|\operatorname{div}(\cdot)\|_{\text{TV}}$;
- Soit $\gamma : [0, 1] \rightarrow \mathbb{R}^d$ une courbe Lipschitz paramétrée 1-rectifiable,

- soit l'espace des mesures de Radon vectorielles $\mathcal{M}(\mathcal{X})^2$;
- On note $\mathcal{V} \stackrel{\text{def.}}{=} \left\{ m \in \mathcal{M}(\mathcal{X})^2, \operatorname{div}(m) \in \mathcal{M}(\mathcal{X}) \right\}$ l'espace des *charges*, c'est-à-dire les champs de vecteurs à divergence finie. Notons que $\delta \notin \mathcal{V}$!
- \mathcal{V} est un Banach pour la norme $\|\cdot\|_{\mathcal{V}} \stackrel{\text{def.}}{=} \|\cdot\|_{\text{TV}^2} + \|\operatorname{div}(\cdot)\|_{\text{TV}}$;
- Soit $\gamma : [0, 1] \rightarrow \mathbb{R}^d$ une courbe Lipschitz paramétrée 1-rectifiable, on dit que $\mu_{\gamma} \in \mathcal{V}$ est une mesure portée par une courbe γ si :

$$\forall g \in \mathcal{C}_0(\mathcal{X})^2, \quad \langle \mu_{\gamma}, g \rangle_{\mathcal{M}^2} \stackrel{\text{def.}}{=} \int_0^1 g(\gamma(t)) \cdot \dot{\gamma}(t) dt.$$

- une courbe est fermée si $\gamma(0) = \gamma(1)$, elle est ouverte sinon ;
 $\operatorname{div} \mu_{\gamma} = \delta_{\gamma(0)} - \delta_{\gamma(1)}$.

Soit $\alpha > 0$, nous introduisons la fonctionnelle CROC (**C**urves **R**epresented **O**n **C**harges) :

$$\operatorname{argmin}_{m \in \mathcal{Y}} \frac{1}{2} \|y - \Phi m\|_{\mathcal{H}}^2 + \alpha (\|m\|_{\text{TV}^2} + \|\operatorname{div} m\|_{\text{TV}}). \quad (\mathcal{Q}_\alpha(y))$$

Soit $\alpha > 0$, nous introduisons la fonctionnelle CROC (**C**urves **R**epresented **O**n **C**harges) :

$$\operatorname{argmin}_{m \in \mathcal{Y}} \frac{1}{2} \|y - \Phi m\|_{\mathcal{H}}^2 + \alpha (\|m\|_{\text{TV}^2} + \|\operatorname{div} m\|_{\text{TV}}). \quad (\mathcal{Q}_\alpha(y))$$

- $\frac{1}{2} \|y - \Phi m\|_{\mathcal{H}}^2$ est le terme d'attache aux données ;

Soit $\alpha > 0$, nous introduisons la fonctionnelle CROC (**C**urves **R**epresented **O**n **C**harges) :

$$\operatorname{argmin}_{m \in \mathcal{Y}} \frac{1}{2} \|y - \Phi m\|_{\mathcal{H}}^2 + \alpha (\|m\|_{\text{TV}^2} + \|\operatorname{div} m\|_{\text{TV}}). \quad (\mathcal{Q}_\alpha(y))$$

- $\frac{1}{2} \|y - \Phi m\|_{\mathcal{H}}^2$ est le terme d'attache aux données ;
- $\|m\|_{\text{TV}^2}$ pénalise la longueur de la courbe : $\|\mu_\gamma\|_{\text{TV}^2} = \mathcal{H}_1(\Gamma)$ avec $\Gamma = \gamma([0, 1[)$;

Soit $\alpha > 0$, nous introduisons la fonctionnelle CROC (**C**urves **R**epresented **O**n **C**harges) :

$$\operatorname{argmin}_{m \in \mathcal{Y}} \frac{1}{2} \|y - \Phi m\|_{\mathcal{H}}^2 + \alpha (\|m\|_{\text{TV}^2} + \|\operatorname{div} m\|_{\text{TV}}). \quad (\mathcal{Q}_\alpha(y))$$

- $\frac{1}{2} \|y - \Phi m\|_{\mathcal{H}}^2$ est le terme d'attache aux données ;
- $\|m\|_{\text{TV}^2}$ pénalise la longueur de la courbe : $\|\mu_\gamma\|_{\text{TV}^2} = \mathcal{H}_1(\Gamma)$ avec $\Gamma = \gamma([0, 1[)$;
- $\|\operatorname{div} m\|_{\text{TV}}$ est le terme de comptage de courbes.

- CROC admet des minimiseurs $m \in \mathcal{V}$;
- il existe certificats duaux $\eta_1 \in \partial \|m\|_{\text{TV}^2}$ et $\eta_2 \in \partial \|\mu\|_{\text{TV}}|_{\mu=\text{div } m}$ avec $\eta_1, \eta_2 \in \mathcal{C}_0(\mathcal{X})^2$ tel que :

$$\langle m, \eta_1 + \eta_2 \rangle_{\mathcal{M}^2} = \|m\|_{\mathcal{V}}.$$

¹ 'Off-the-grid curve reconstruction through divergence regularisation: an extreme point result'. Bastien Laville, Laure Blanc-Féraud, Gilles Aubert.

- CROC admet des minimiseurs $m \in \mathcal{V}$;
- il existe certificats duaux $\eta_1 \in \partial \|m\|_{\text{TV}^2}$ et $\eta_2 \in \partial \|\mu\|_{\text{TV}}|_{\mu=\text{div } m}$ avec $\eta_1, \eta_2 \in \mathcal{C}_0(\mathcal{X})^2$ tel que :

$$\langle m, \eta_1 + \eta_2 \rangle_{\mathcal{M}^2} = \|m\|_{\mathcal{V}}.$$

Comment prouver qu'il existe des mesures portées par des courbes μ_γ *minimum* de CROC / $(Q_\alpha(y))$?

¹ 'Off-the-grid curve reconstruction through divergence regularisation: an extreme point result'. Bastien Laville, Laure Blanc-Féraud, Gilles Aubert.

- CROC admet des minimiseurs $m \in \mathcal{V}$;
- il existe certificats duaux $\eta_1 \in \partial \|m\|_{\text{TV}^2}$ et $\eta_2 \in \partial \|\mu\|_{\text{TV}}|_{\mu=\text{div } m}$ avec $\eta_1, \eta_2 \in \mathcal{C}_0(\mathcal{X})^2$ tel que :

$$\langle m, \eta_1 + \eta_2 \rangle_{\mathcal{M}^2} = \|m\|_{\mathcal{V}}.$$

Comment prouver qu'il existe des mesures portées par des courbes μ_γ *minimum* de CROC / $(Q_\alpha(y))$? Nous proposons cette approche fondée sur les points extrémaux : **Atomic based Method for Gridless (AMG)**¹.

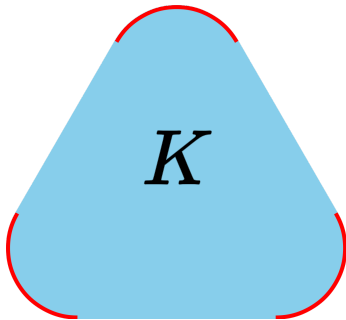
¹ 'Off-the-grid curve reconstruction through divergence regularisation: an extreme point result'. Bastien Laville, Laure Blanc-Féraud, Gilles Aubert.

Definition

Soit X un espace vectoriel topologique et $K \subset X$. Un *point extrémal* x de K est un point tel que $\forall y, z \in K$:

$$\forall \lambda \in (0, 1), x = \lambda y + (1 - \lambda)z \\ \implies x = y = z$$

$\text{Ext } K$ est l'ensemble des points extrémaux de K .



Les points extrémaux sont en rouge

Lien entre une fonctionnelle et points extrémaux :

Theorem (Théorème de la représentation)

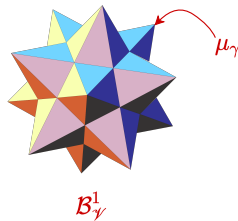
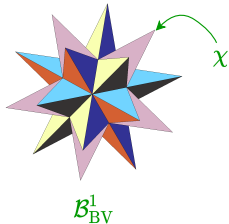
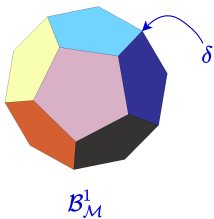
Soit $F = G + \alpha R$ une fonctionnelle où G est le terme d'attache aux données, R le régulariseur, $\alpha > 0$. Alors, il existe un minimiseur de F qui est une combinaison linéaire finie des points extrémaux de la boule unité de R .

Lien entre une fonctionnelle et points extrémaux :

Theorem (Théorème de la représentation)

Soit $F = G + \alpha R$ une fonctionnelle où G est le terme d'attache aux données, R le régulariseur, $\alpha > 0$. Alors, il existe un minimiseur de F qui est une combinaison linéaire finie des points extrémaux de la boule unité de R .

Caractériser la boule unité $\mathcal{B}_E^1 \stackrel{\text{def.}}{=} \{u \in E \mid R(E) \leq 1\}$ du régulariseur
 \iff caractériser la structure d'un *minimum* de F .



Résultat principal

Soit l'espace de \mathcal{V} muni de la topologie faible-* (non-complet) :

$$\mathfrak{G} \stackrel{\text{def.}}{=} \left\{ \frac{\mu_\gamma}{\|\mu_\gamma\|_{\mathcal{V}}}, \gamma \text{ courbe Lipschitz 1-rectifiable simple orientée} \right\}.$$

Résultat principal

Soit l'espace de \mathcal{V} muni de la topologie faible-* (non-complet) :

$$\mathfrak{G} \stackrel{\text{def.}}{=} \left\{ \frac{\mu_\gamma}{\|\mu_\gamma\|_{\mathcal{V}}}, \gamma \text{ courbe Lipschitz 1-rectifiable simple orientée} \right\}.$$

Theorem (AMG)

Soit $\mathcal{B}_{\mathcal{V}}^1 = \{m \in \mathcal{V}, \|m\|_{\mathcal{V}} \leq 1\}$ la boule unité de la norme de \mathcal{V} .

Résultat principal

Soit l'espace de \mathcal{V} muni de la topologie faible-* (non-complet) :

$$\mathfrak{S} \stackrel{\text{def.}}{=} \left\{ \frac{\mu_\gamma}{\|\mu_\gamma\|_{\mathcal{V}}}, \gamma \text{ courbe Lipschitz 1-rectifiable simple orientée} \right\}.$$

Theorem (AMG)

Soit $\mathcal{B}_{\mathcal{V}}^1 = \{m \in \mathcal{V}, \|m\|_{\mathcal{V}} \leq 1\}$ la boule unité de la norme de \mathcal{V} . Alors,

$$\text{Ext}(\mathcal{B}_{\mathcal{V}}^1) = \mathfrak{S}.$$

Résultat principal

Soit l'espace de \mathcal{V} muni de la topologie faible-* (non-complet) :

$$\mathfrak{S} \stackrel{\text{def.}}{=} \left\{ \frac{\mu_\gamma}{\|\mu_\gamma\|_{\mathcal{V}}}, \gamma \text{ courbe Lipschitz 1-rectifiable simple orientée} \right\}.$$

Theorem (AMG)

Soit $\mathcal{B}_\mathcal{V}^1 = \{\mathbf{m} \in \mathcal{V}, \|\mathbf{m}\|_{\mathcal{V}} \leq 1\}$ la boule unité de la norme de \mathcal{V} . Alors,

$$\text{Ext}(\mathcal{B}_\mathcal{V}^1) = \mathfrak{S}.$$

Il faut maintenant écrire un algorithme pour reconstruire une solution comme combinaison linéaire de points extrémaux.

Conclusion

Les nouvelles approches

- ① approche sans-grille en imagerie SOFI de microscopie fluorescente, reconstruction par covariance ;

Les nouvelles approches

- 1 approche sans-grille en imagerie SOFI de microscopie fluorescente, reconstruction par covariance ;
- 2 reconstruction sans-grille de courbes AMG :
 - caractérisation de l'espace des charges \mathcal{V} , définition d'une fonctionnelle CROC sur \mathcal{V} pour reconstruire des courbes ;
 - caractérisation fine des points extrémaux de la boule unité de la norme de \mathcal{V} , $\text{Ext}(\mathcal{B}_{\mathcal{V}}^1) = \mathcal{G}$.

Objectifs futurs

- implémentation numérique de CROC/AMG avec une version de *(Sliding) Frank-Wolfe* ;

Objectifs futurs

- implémentation numérique de CROC/AMG avec une version de (*Sliding*) *Frank-Wolfe* ;
- étoffer notre paquet *python* appelé OPS à destination des biologistes (accélération *PyKeOps* ?) ;

Objectifs futurs

- implémentation numérique de CROC/AMG avec une version de (*Sliding*) *Frank-Wolfe* ;
- étoffer notre paquet *python* appelé OPS à destination des biologistes (accélération *PyKeOps* ?) ;
- reconstruire des courbes avec variation de poids ?

Objectifs futurs

- implémentation numérique de CROC/AMG avec une version de (*Sliding*) *Frank-Wolfe* ;
- étoffer notre paquet *python* appelé OPS à destination des biologistes (accélération *PyKeOps* ?) ;
- reconstruire des courbes avec variation de poids ?
- reconstruction de Diracs dynamiques à partir d'acquisitions vidéos réelles (*tracking*).

Objectifs futurs

- implémentation numérique de CROC/AMG avec une version de (*Sliding*) *Frank-Wolfe* ;
- étoffer notre paquet *python* appelé OPS à destination des biologistes (accélération *PyKeOps* ?) ;
- reconstruire des courbes avec variation de poids ?
- reconstruction de Diracs dynamiques à partir d'acquisitions vidéos réelles (*tracking*).

Publications pour approfondir :

- '*Off-the-grid curve reconstruction through divergence regularisation: an extreme point result*'. Bastien Laville, Laure Blanc-Féraud, Gilles Aubert. Prépublication avril 2022.
- '*Off-the-grid covariance-based super-resolution microscopy*'. Bastien Laville, Laure Blanc-Féraud, Gilles Aubert. ICASSP 2022.

Bibliographie de l'exposé I

-  Yohann de Castro and Fabrice Gamboa. *Exact reconstruction using Beurling minimal extrapolation*. Journal of Mathematical Analysis and Applications, Elsevier BV, 2012, 395, 336-354
-  Quentin Denoyelle, Vincent Duval, Gabriel Peyré, Emmanuel Soubies. *The Sliding Frank-Wolfe Algorithm and its Application to Super-Resolution Microscopy*. Inverse Problems, IOP Publishing, In press.
-  Lenaïc Chizat, Francis Bach. *On the Global Convergence of Gradient Descent for Over-parameterized Models using Optimal Transport*. Advances in Neural Information Processing Systems (NIPS), Dec 2018, Montréal, Canada.
-  Tamir Bendory, Shai Dekel, Arie Feuer, Robust recovery of stream of pulses using convex optimization, Journal of Mathematical Analysis and Applications, Volume 442, Issue 2, 2016.

Bibliographie de l'exposé II

-  A Fast Iterative Shrinkage-Thresholding Algorithm for Linear Inverse Problems, Amir Beck and Marc Teboulle, SIAM J. IMAGING SCIENCES, 2009.
-  Marguerite Frank et Philip Wolfe, « An algorithm for quadratic programming », Naval Research Logistics Quarterly, vol. 3, 1956.
-  J J. B. Lasserre, « Moments, positive polynomials and their applications », Imperial College Press Optimization Series, vol. 1, pp. xxii+361, 2010
-  K. Bredies and H. K. Pikkarainen, « Inverse problems in spaces of measures », ESAIM Control Optim. Calc. Var., vol. 19, no. 1, pp. 190-218, 2013.
-  Lenaic Chizat, Francis Bach. On the Global Convergence of Gradient Descent for Over-parameterized Models using Optimal Transport. Advances in Neural Information Processing Systems (NIPS), Dec 2018, Montréal, Canada.

Bibliographie de l'exposé III

-  Lenaic Chizat. Sparse Optimization on Measures with Over-parameterized Gradient Descent. 2020
-  Candès, Emmanuel & Fernandez-Granda, Carlos. (2014). Towards a Mathematical Theory of Super-Resolution. Communications on Pure and Applied Mathematics. 67. 10.1002/cpa.21455.
-  Vincent Duval, Gabriel Peyré. Exact Support Recovery for Sparse Spikes Deconvolution. Foundations of Computational Mathematics, Springer Verlag, 2015, 15 (5), pp.1315-1355.
-  Thomas Dertinger, Ryan Colyer, Robert Vogel, Jörg Enderlein, and Shimon Weiss, "Achieving increased resolution and more pixels with Superresolution Optical Fluctuation Imaging (SOFI)," Opt. Express 18, 18875-18885 (2010)
-  Culley S, Tosheva KL, Matos Pereira P, Henriques R. SRRF: Universal live-cell super-resolution microscopy. Int J Biochem Cell Biol. 2018;101:74-79. doi:10.1016/j.biocel.2018.05.014

Bibliographie de l'exposé IV



Oren Solomon, Maor Mutzafi, Mordechai Segev, and Yonina C. Eldar, "Sparsity-based super-resolution microscopy from correlation information," Opt. Express 26, 18238-18269 (2018)

Sliding Frank-Wolfe

Algorithm 1: *Sliding Frank-Wolfe.*

Entrées: Acquisition $y \in \mathcal{H}$, nombre d'itérations K , $\lambda > 0$

1 Initialisation : $m^{[0]} = 0$ $N^{[k]} = 0$

2 **for** *Récurrence pour l'étape k* , $0 \leq k \leq K$ **do**

3 Pour $m^{[k]} = \sum_{i=1}^{N^{[k]}} a_i^{[k]} \delta_{x_i^{[k]}}$ telle que $a_i^{[k]} \in \mathbb{R}$, $x_i^{[k]} \in \mathcal{X}$, trouver $x_*^{[k]} \in \mathcal{X}$ tel que :

$$x_*^{[k]} \in \operatorname{argmax}_{x \in \mathcal{X}} \left| \eta^{[k]}(x) \right| \quad \text{où} \quad \eta^{[k]}(x) \stackrel{\text{def.}}{=} \frac{1}{\lambda} \Phi^*(\Phi m^{[k]} - y),$$

4 **if** $\left| \eta^{[k]}(x_*^{[k]}) \right| < 1$ **then**

5 $m^{[k]}$ est la solution du BLASSO. Stop.

6 **else**

7 Calculer $m^{[k+1/2]} = \sum_{i=1}^{N^{[k]}} a_i^{[k+1/2]} \delta_{x_i^{[k+1/2]}} + a_{N^{[k]}+1}^{[k+1/2]} \delta_*^{[k+1/2]}$ telle que :

$$a_i^{[k+1/2]} \in \operatorname{argmin}_{a \in \mathbb{R}^{N^{[k]}+1}} \frac{1}{2} \|y - \Phi_{x^{[k+1/2]}}(a)\|_{\mathcal{H}}^2 + \lambda \|a\|_1$$

pour $x^{[k+1/2]} \stackrel{\text{def.}}{=} (x_1^{[k]}, \dots, x_{N^{[k]}}^{[k]}, x_*^{[k]})$.

8 Calculer $m^{[k+1]} = \sum_{i=1}^{N^{[k+1]}} a_i^{[k+1]} \delta_{x_i^{[k+1]}}$ telle que :

$$(a_i^{[k+1]}, x_i^{[k+1]}) \in \operatorname{argmax}_{(a,x) \in \mathbb{R} \times \mathcal{X}} \frac{1}{2} \|y - \Phi_{x^{[k+1/2]}}(a)\|_{\mathcal{H}}^2 + \lambda \|a\|_1$$

9 **end**

10 **end**

Sortie: Mesure discrète $m^{[k]}$ pour k l'itération d'arrêt.